

этом интегральное уравнение (3.5) решалось методом последовательных приближений. Результаты численных расчетов приведены на фиг. 3 и 4. На фиг. 3 представлено распределение функции  $w$  вдоль прямой  $y = x$  ( $x \geq 0$ ), а на фиг. 4 — вдоль прямой  $y = 1$  и  $y = 1/2$  ( $x \geq 0$ ).

#### ЛИТЕРАТУРА

1. Кавлакан М. В., Михайлов А. М. Решение смешанной статической задачи теории упругости для полупространства на упругом основании.— ДАН, 1980, т. 251, № 6.
2. Канторович Л. В., Акилов Г. П. Функциональный анализ. М.: Наука, 1977.
3. Градштейн И. С., Рыжик И. М. Таблицы интегралов, сумм, рядов и произведений. М.: Физматгиз, 1963.

Поступила 6/VII 1983 г.

УДК 539.375

### ДВОЯКОПЕРИОДИЧЕСКАЯ СИСТЕМА ПРЯМОЛИНЕЙНЫХ ТРЕЩИН ПРОДОЛЬНОГО СДВИГА В УПРУГОМ ТЕЛЕ

В. Г. НОВИКОВ, Б. М. ТУЛИНОВ

(Москва)

Задачи теории упругости для бесконечного изотропного тела, ослабленного двоякопериодической системой прямолинейных трещин, рассматривались в [1—11], где были сведены к численному решению сингулярного интегрального уравнения или бесконечной алгебраической системы. В данной работе построено аналитическое решение задачи для двоякопериодической системы прямолинейных трещин продольного сдвига, образующих ромбическую решетку. Получено выражение для макроскопического модуля сдвига среди с данной системой трещин.

1. Постановка и решение двоякопериодической задачи. Известно [12], что решения задачи продольного сдвига сводятся к определению аналитической в области, занятой телом, функции  $F(z)$ , где  $z = x + iy$ . При этом компоненты напряжений  $\sigma_{xz}$ ,  $\sigma_{yz}$  и смещение  $w$  определяются по формулам

$$(1.1) \quad \sigma_{xz} - i\sigma_{yz} = \mu_0 F(z); \quad w = \operatorname{Re} f(z), \quad F(z) = f'(z),$$

где  $\mu_0$  — модуль сдвига.

Пусть бесконечная упругая плоскость  $xOy$  ослаблена двоякопериодической системой прямолинейных разрезов, параллельных действительной оси. Предполагается,

что основной параллелограмм периодов имеет форму ромба. Внутри параллелограмма периодов по диагонали расположен разрез (фиг. 1). На берегах разрезов задана одинаковая в конгруэнтных точках самоуравновешенная нагрузка

$$(1.2) \quad \sigma_{yz} = -T(x), \quad |x| < l, \quad y = 0.$$

Обозначим  $2g(x)$  разрыв смещения при переходе через разрез

$$2g(x) = w(x, +0) - w(x, -0), \quad |x| \leq l.$$

Пусть приложенная нагрузка  $T(x)$  является четной функцией координаты  $x$ . Тогда  $T(x) = -T(-x)$  и в силу симметрии функция  $F(z)$  является четной двоякопериодической функцией.

Можно показать [13, 14], что  $F(z)$  выражается через производную функции  $g(x)$  в виде

$$(1.3) \quad F(z) = \frac{1}{\pi i} \int_0^l \frac{g'(t) P'(t) dt}{P(t) - P(z)},$$

где  $P(z)$  — эллиптическая функция Вейерштрасса, а штрихи означают дифференцирование по аргументу.

Из граничного условия (1.2) получаем для функции  $g'(t)$  уравнение

$$(1.4) \quad \frac{1}{\pi} \int_0^l \frac{g'(t) P'(t) dt}{P(t) - P(x)} = -\frac{T(x)}{\mu_0}.$$

Обозначая  $P(t)$  под знаком интеграла в соотношении (1.4) через новую переменную, приводим уравнение (1.4) к задаче обращения интеграла типа Коши, решение

которой хорошо известно [14]. Опуская промежуточные выкладки, получим решение уравнения (1.4):

$$(1.5) \quad g'(t) = \frac{1}{\pi \mu_0 \sqrt{P(t) - P(l)}} \left[ C_0 + P(t) \int_0^l \frac{\sqrt{P(x) - P(l)}}{P(x) - P(t)} \frac{P(x)}{P(x)} T(x) dx \right],$$

где  $C_0$  — постоянная. Из (1.1), (1.3) и (1.5) получаем распределение напряжений в виде

$$(1.6) \quad \sigma_{xz} - i\sigma_{yz} = \frac{1}{\pi \sqrt{P(z) - P(l)}} \left[ C_0 + P(z) \int_0^l \frac{\sqrt{P(t) - P(l)}}{P(t) - P(z)} \frac{P'(t)}{P(t)} T(t) dt \right].$$

Рассмотрим случай приложения однородной нагрузки  $T(x) = \tau_0$ . Тогда из (1.6) следует

$$(1.7) \quad \sigma_{xz} - i\sigma_{yz} = i\tau_0 + \frac{C}{\sqrt{P(z) - P(l)}},$$

где  $C$  — постоянная (отличная от  $C_0$ ), значение которой определяется из условия двойкой периодичности смещения  $w(x, y)$ . Можно показать, что  $w(x, y)$  является периодической функцией координаты  $x$ , а из условия периодичности смещения по координате  $y$  следует выражение для  $C$

$$(1.8) \quad C = -\tau_0 d [P(l) - e_2] \sqrt{\lambda_+ - \lambda_-} / 2K(k),$$

где  $K(k)$  — полный эллиптический интеграл первого рода [15];

$$(1.9) \quad e_1 = P\left(\frac{a - id}{2}\right), \quad e_2 = P(a), \quad e_3 = P\left(\frac{a + id}{2}\right),$$

$$A = e_2^2 + 3e_2 P(l) + 2e_1 e_3,$$

$$\lambda_{\pm} = \frac{-A \pm \sqrt{A^2 + [P(l) - e_2]^2 (e_1 - e_3)^2}}{[P(l) - e_2]^2},$$

$$k = \sqrt{\frac{\lambda_-}{\lambda_+ - \lambda_-}}.$$

Для коэффициента интенсивности напряжений [11] в случае однородной нагрузки из соотношений (1.7)–(1.9) имеем выражение

$$\frac{K}{K_0} = d \frac{P(l) - e_2}{K(k)} \sqrt{\frac{\lambda_+ - \lambda_-}{2a |P'(l)|}},$$

где  $K_0 = \tau_0 \sqrt{a}$ . Зависимость  $K/K_0$  от безразмерной длины трещин  $l/a$  приведена на фиг. 2. Кривым 1–5 соответствуют значения  $d/a = \infty$  (периодическая система коллинеарных трещин); 4; 2; 1 и 1/2. При больших значениях  $d/a$  (кривые 1–3) коэффициент интенсивности напряжений монотонно возрастает с увеличением длины трещин. При значении  $d/a$  порядка единицы (кривая 4) зависимость приобретает немонотонный характер, который выражен тем отчетливей, чем меньше значение  $d/a$  (кривая 5). После стадии возрастания коэффициент интенсивности напряжений начинает уменьшаться с увеличением длины трещин и лишь при достаточно сильном сближении трещин вновь возрастает. Данный результат согласуется с выводом [1, 4] о возможном эффекте упрочнения при росте системы трещин.

**2. Макроскопические параметры решетки трещин.** Определим связь между средними деформациями  $\langle \varepsilon_{yz} \rangle$  и средними напряжениями  $\langle \sigma_{yz} \rangle$  в среде, содержащей описанную выше систему трещин, берега которых свободны от нагрузок.

Пусть

$$(2.1) \quad \langle \varepsilon_{yz} \rangle = \gamma_0,$$

где  $\gamma_0$  — постоянная. При отсутствии трещин такая деформация создала бы в среде напряжение  $\sigma_{yz} = \tau_0$ , где

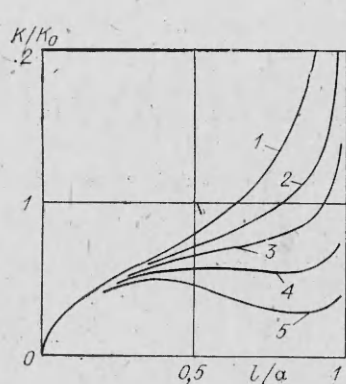
$$(2.2) \quad \tau_0 = \mu_0 \gamma_0.$$

Для среды с трещинами имеем

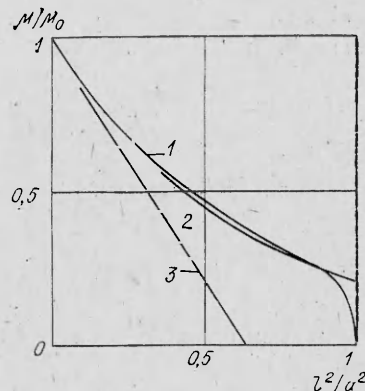
$$(2.3) \quad \langle \sigma_{yz} \rangle = \mu \langle \varepsilon_{yz} \rangle,$$

где  $\mu$  — макроскопический модуль сдвига трещиноватой среды. Из (2.1)–(2.3) следует

$$(2.4) \quad \mu/\mu_0 = \langle \sigma_{yz} \rangle / \tau_0.$$



Ф и г. 2



Ф и г. 3

Вычисляя  $\langle \sigma_{yz} \rangle$ , определим из соотношения (2.4) значение  $\mu$ . Для среднего напряжения  $\langle \sigma_{yz} \rangle$  имеем

$$(2.5) \quad \langle \sigma_{yz} \rangle = \frac{1}{2ad} \int_S \sigma_{yz}(x, y) dx dy,$$

где  $S$  — основной параллелограмм периодов;  $\sigma_{yz}(x, y)$  — микроскопическое распределение напряжений, получаемое из решения двойкоперiodической задачи.

Представим  $\sigma_{yz}(x, y)$  в виде

$$(2.6) \quad \sigma_{yz}(x, y) = \tau_0 + \tau(x, y).$$

Тогда для  $\tau(x, y)$  получаем краевую задачу (1.1), (1.2) при  $T(x) = \tau_0$ , решение которой дается формулами (1.7)–(1.9). Подставляя значение  $\tau(x, y)$  из (1.7) в соотношения (2.4)–(2.6), находим макроскопический модуль сдвига  $\mu$ . Опуская промежуточные выкладки, приводим конечный ответ для случая  $a = d$ :

$$(2.7) \quad \frac{\mu}{\mu_0} = 1 - \frac{[K^4(1/\sqrt{2}) + a^4 P^2(l)]^{1/4}}{K(k_1)} \int_0^1 \frac{tf(t) dt}{\sqrt{(1-t^2)[a^4 P^2(l) + K^4(1/\sqrt{2}) t^4]}},$$

где  $f(t) = \begin{cases} F(\varphi, 1/\sqrt{2}), & t^2 < P(l)/\text{Im } e_1, \\ 2K(1/\sqrt{2}) - F(\varphi, 1/\sqrt{2}), & t^2 > P(l)/\text{Im } e_1, \end{cases}$

$$\sin(\varphi) = \frac{2tK(1/\sqrt{2})a\sqrt{P(l)}}{a^2 P(l) + K^2(1/\sqrt{2})t^2},$$

$$k_1^2 = \frac{1}{2} \left[ 1 + \frac{K^2(1/\sqrt{2})}{\sqrt{K^4(1/\sqrt{2}) + a^4 P^2(l)}} \right],$$

$F(\varphi, k)$  — неполный эллиптический интеграл первого рода [15]. Из (2.7) следуют асимптотические выражения при  $l \ll a$

$$(2.8) \quad \mu/\mu_0 \simeq 1 - \pi l^2/2a^2$$

и при  $l \rightarrow a$

$$\mu/\mu_0 \simeq -C_1/\ln(1 - l^2/a^2),$$

где  $C_1 = 0,7854$ .

Предложенный в [16, 17] подход, основанный на приближении учете взаимодействия трещин, в случае ромбической решетки трещин при  $d = a$  дает для макроскопического модуля сдвига значение

$$(2.9) \quad \mu/\mu_0 = \exp(-\pi l^2/2a^2).$$

Зависимости (2.7), (2.9) и (2.8) приведены на фиг. 3, кривые 1—3 соответственно. Все кривые имеют при  $l \ll a$  одинаковое асимптотическое поведение, которое дается формулой (2.8). Зависимость (2.8) аппроксимирует соотношение (2.7) лишь при не слишком больших значениях  $l^2/a^2$ . Например, при  $l^2/a^2 = 0,4$  отличие приближенного выражения (2.8) от точного (2.7) составляет около 30%. Соотношение (2.9) вплоть до значений  $l^2/a^2 = 0,9$  дает значение  $\mu/\mu_0$ , отличающееся от (2.7) менее чем на 6%. Таким образом, приближенный подход [16, 17] применим с хорошей степенью точности почти до момента полного разрушения.

## ЛИТЕРАТУРА

1. Парсон В. З. Об одной оценке взаимного упрочнения трещин при их шахматном расположении.— ПМТФ, 1965, № 5.
2. Кудрявцев Б. А., Парсон В. З. Первая основная задача теории упругости для двоякопериодической системы разрезов.— В кн.: Механика сплошной среды и родственные проблемы анализа. М.: Наука, 1972.
3. Фильинский Л. А. Взаимодействие двоякопериодической системы прямолинейных трещин в изотропной среде.— ПММ, 1974, т. 38, вып. 5.
4. Парсон В. З., Морозов Е. М. Механика упругоупластического разрушения. М.: Наука, 1974.
5. Delameter W. R., Herrmann G., Barnett D. M. Weakening of an elastic solid by a rectangular array of cracks.— Trans. ASME, ser. E, 1975, vol. 42, N 1.
6. Саврук М. П. Двоякопериодическая система трещин продольного сдвига в упругом теле.— ПМ, 1975, т. 11, № 12.
7. Линьков А. М. Интегральное уравнение плоской задачи теории упругости о двоякопериодической системе разрезов, нагруженных самоуравновешенными нагрузками.— Изв. АН СССР. МТТ, 1976, № 2.
8. Панаюк В. В., Саврук М. П., Дацшин А. П. Двоякопериодическая задача теории трещин.— Проблемы прочности, 1976, № 12.
9. Панаюк В. В., Саврук М. П., Дацшин А. П. Распределение напряжений около трещин в пластинах и оболочках. Киев: Наук. думка, 1976.
10. Тусупов М. Т., Алдамжаров К. Б. К решению задачи теории упругости для плоскости с двоякопериодической системой щелей.— Вест. АН КазССР, 1979, № 1.
11. Саврук М. П. Двумерные задачи упругости для тел с трещинами. Киев: Наук. думка, 1981.
12. Баренблат Г. И., Черепанов Г. И. О хрупких трещинах продольного сдвига.— ПММ, 1961, т. 25, вып. 6.
13. Чибркова Л. И. О краевой задаче Римана для автоморфных функций.— Учен. зап. Казанского ун-та, 1956, т. 116, № 4.
14. Гахов Ф. Д. Краевые задачи. М.: Наука, 1977.
15. Прудников А. П., Брычков Ю. А., Маричев О. И. Интегралы и ряды. М.: Наука, 1981.
16. Вавакин А. С., Салганик Р. Л. Об эффективных характеристиках неоднородных сред с изолированными неоднородностями.— Изв. АН СССР. МТТ, 1975, № 3.
17. Вавакин А. С., Салганик Р. Л. Эффективные упругие характеристики тел с изолированными трещинами, полостями и жесткими неоднородностями.— Изв. АН СССР. МТТ, 1978, № 2.

Поступила 10/XII 1983 г.

УДК 550.34

## ДАВЛЕНИЕ И ТЕМПЕРАТУРА ПОДЗЕМНЫХ ЖИДКОСТЕЙ КАК ПРЕДВЕСТИКИ ЗЕМЛЕТРЯСЕНИЙ

T. K. RAMAZANOV

(Moskva)

Накоплено много экспериментального материала [1—5], представляющего интерес для флюидных предвестников землетрясений, проявляющихся в виде гидрогеодинамических и геотермических эффектов. Хорошо известны [4] реакции подземных вод на упругие деформации земной коры, обусловленные приливными силами, и было обнаружено [3] периодическое изменение дебитов самоизливающихся скважин. Указанные реакции напорных пластов приобретают особые значения в связи с прогнозированием землетрясений, поскольку процесс подготовки землетрясений всегда связан с изменениями напряженно-деформированного состояния горных пород.

Попеременные изменения объема насыщенной породы вызывают повышение или снижение уровня жидкости в водоносном горизонте, в котором расположенная система скважин при наличии хороших самописцев уровня представляет собой своеобразный сейсмограф.

В данной работе на основе теории гетерогенных сред дан строгий анализ реакции периодических длинноволновых возмущений напряженного состояния полностью насыщенного жидкостью пласта на возмущения и взаимодействия полей порового давления и температуры. Полученные амплитудно-частотные характеристики напорного пласта могут прогнозировать землетрясения, а также процессы приливов — отливов в твердой оболочке Земли.

1. Пусть матрица полностью насыщенным жидкостью пласта линейно-упругая и жидкость слабосжимаемая. Тогда при малых возмущениях порового давления уравнения неразрывности твердой и жидкой фаз, закон фильтрации и уравнения сохранения энергии каждой фазы линеаризуются. Эти уравнения при равенстве температур